

专论与综述

活细胞²³Na-NMR 研究进展; 水溶性位移试剂的应用

赵 明

卢 枝

(中国科学院武汉物理研究所) (湖北医学院医用物理教研室, 武汉)

提 要

钠离子 (Na^+) 是生物体内最重要的无机阳离子之一。引入适当的水溶性位移试剂 (SR)，应用²³Na 核磁共振波谱 (²³Na-NMR) 技术，是研究活细胞中 Na^+ 代谢的一条新途径。本文综述了活细胞中²³Na-SR-NMR 研究的实验方法及其研究进展。

一、引言

在维持人体细胞正常的生理活动中，钠离子 (Na^+) 起着非常重要的作用。有人提出，原发性高血压^[1]、精神失常^[2]、甲状腺机能亢进^[3]和癌症^[4]等疑难病症，都与细胞中的 Na^+ 代谢状况密切相关。因此，对细胞中 Na^+ 代谢的研究，已成为一个越来越引起人们关注的研究领域。

NMR 技术，是一种无损伤性研究生物样品的重要物理手段。它最大的优点是能在接近生理状况下，动态地研究生命现象。现在，³¹P、¹³C、¹H、²H 和 ¹⁹F 的 NMR 技术已经大量用于研究生物样品。从分子水平、亚细胞水平到细胞和组织水平，都得到了许多新的重要结果。近十年来，随着脉冲傅里叶变换核磁共振 (PFT-NMR) 技术的发展，²³Na、³⁹K、²⁵Mg 和 ⁴⁵Ca 等金属阳离子 NMR 信号的检测，也逐渐成为一般商品谱仪的常规技术，并很快在生物样品的研究中得到了应用。但是，细胞中的²³Na-NMR 研究，存在着一个长期未能解决的问题^[5]：细胞内的 Na^+ 和细胞外的 Na^+ 是化学位移等价的。这一障碍从根本上阻碍了活细胞

中 Na^+ 代谢研究的深入。幸运的是，这一障碍，终于在 1982 年同时被美国的两个实验室——纽约州立大学化学系 M. M. Pike 教授领导的研究小组和费城 F. Chase 癌症中心癌症研究所 P. K. Gupta 教授领导的研究小组所突破。他们分别发现：加入一定量的某种水溶性 SR，细胞内的 Na^+ 信号峰和细胞外的 Na^+ 信号峰就会发生分裂，使得 Na^+ 化学位移的等价性被消除。

²³Na-SR-NMR 技术的出现，为细胞中的 Na^+ 代谢研究，提供了一个新的有力手段。相对于其它物理技术，它具有下列优点：

- (1) 能同时准确地测定细胞内外的 Na^+ 浓度；
- (2) 能直接、连续地监测 Na^+ 跨膜传输过程；
- (3) 能定量研究 Na^+ 平衡的动力学机制。

注释：

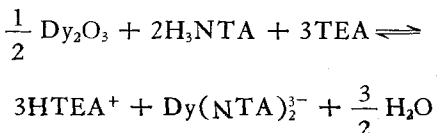
EDTA, $[(\text{O}_2\text{CCH}_2)_2\text{N}(\text{CH}_2)_2\text{N}(\text{CH}_2\text{CO}_2)_2]^{2-}$ DPA, dipicolinate, pridin-2, 6-dicarboxylate NTA, $\text{N}(\text{CH}_2\text{CO}_2)_3^{2-}$ PPP, $(\text{P}_3\text{O}_{10})^{2-}$ CA, chelidamate, 4-oxyypyridine-2, 6-dicarboxylate TTHA, $(\text{O}_2\text{CCH}_2)_2\text{N}(\text{CH}_2)_2\text{N}(\text{CH}_2\text{CO}_2)_2$ $(\text{CH}_2)_2\text{N}(\text{CH}_2\text{CO}_2)_2$ $(\text{CH}_2)_2\text{N}(\text{CH}_2\text{CO}_2)_2^{2-}$ HTEA, $(\text{HOCH}_2\text{CH}_2)_3\text{NH}^+$

二、细胞中的 Na^+ 检测

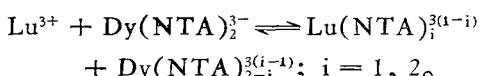
检测细胞中的 Na^+ 信号，是研究细胞中 Na^+ 代谢的前提。

Pike 等^[6] 经过大探索性实验，发现由阴离子 EDTA、DPA 和 NTA，分别与镧系中的阳离子 Dy^{3+} 所形成的络合物 Dy(EDTA)_2^{3-} 、 Dy(DPA)_2^{3-} 和 Dy(NTA)_2^{3-} ，是一组较理想的 Na^+ -SR。它们的位移效果按 Dy(EDTA)_2^{3-} 、 Dy(DPA)_2^{3-} 和 Dy(NTA)_2^{3-} 的顺序逐步增强，其中 Dy(NTA)_2^{3-} 在水中的溶解性最大。

络合物 Dy(NTA)_2^{3-} 可在使用时，按下列反应式配制。



Dy(NTA)_2^{3-} 能使 Na^+ 信号峰向高场移动。尽管谱线有所增宽，但仍能保持洛伦兹线型不变。Pike 等在实验中还发现，向加入了 Dy(NTA)_2^{3-} 的 NaCl 溶液中滴加抗磁性离子 Lu^{3+} ，能消除由于 Dy(NTA)_2^{3-} 而引起的 Na^+ 信号峰位移。



其中， $\text{Dy(NTA)}(i=1)$ 和 $\text{Dy}^{3+}(i=2)$ 对 Na^+ 信号没有位移作用。

Gupta 等长期应用 NMR 技术，研究生物体内无机阳离子在细胞代谢中的作用。他们曾利用 ^{31}P -NMR 技术，深入地研究了 ATP 与各种金属阳离子的相互作用。在这些工作的基础上，他们推测由阳离子 Dy^{3+} 和阴离子 PPP 所形成的络合物，在生理溶液中可能是一种稳定的 Na^+ -SR。这一推测很快被他们设计的实验所证实。实验表明，在阳离子 Dy^{3+} 和阴离子 PPP 所形成的络合物中， Dy(PPP)_2^{3-} 的位移效果最好^[7]。

继 Pike 和 Gupta 两个小组的开创性工作之后， ^{23}Na -SR-NMR 技术进展较快。目前这方面的研究集中在以下三个方面：一是继续

寻找新的 Na^+ -SR，并扩展到发现其它生物体内无机阳离子的 SR；二是应用 ^{23}Na -SR-NMR 技术研究合适的生物样品，探讨活细胞中的 Na^+ 代谢过程；三是定量研究 Na^+ -SR 与 Na^+ 相互作用的机制。

到目前为止，已发现的常用 Na^+ -SR 有： Dy(DPA)_2^{3-} 、 Dy(NTA)_2^{3-} 、 Dy(PPP)_2^{3-} 、 $\text{Dy} \times (\text{CA})_2^{6-}$ 、 Dy(TTHA)_2^{3-} 和 Tm(CA)_2^{6-} 、 $\text{Tm} \times (\text{PPP})_2^{7-}$ 、 Tm(TTHA)_2^{3-} 。

三、细胞中的 $[\text{Na}^+]$ 测定

测定细胞中的 $[\text{Na}^+]$ ，是定量研究细胞中 Na^+ 代谢的基础。

测定细胞中 $[\text{Na}^+]$ 的传统实验技术有四种：原子吸收光谱、火焰发射光谱、放射性同位素示踪和选择性离子微电极。前三种技术的灵敏度比较高，但需要对细胞的内外成份进行物理分离。由于细胞膜的外表面总是结合着部分 Na^+ ，而且在细胞分离过程中， Na^+ 的跨膜通量又会发生改变。所以，当应用这三种技术测定细胞中的 $[\text{Na}^+]$ 时，误差范围难以确定。选择性离子微电极技术，能测定完整细胞中的 $[\text{Na}^+]$ 。但是，它只能适用于体积较大的细胞。

应用 ^{23}Na -SR-NMR 技术测定细胞中的 $[\text{Na}^+]$ ，是人们探索准确测定细胞中 $[\text{Na}^+]$ 技术的又一新尝试。其前提假设是 Na^+ 信号峰的积分强度与 Na^+ 数目成正比。但是，细胞中的 Na^+ 不一定都对 Na^+ 信号峰的积分强度有贡献。为此，Ogino 等^[8,9] 引入了一个新概念——NMR 能见度 (NMR Visibility, NMRV)。它实质上反映的是 Na^+ 信号峰的积分强度与 Na^+ 数目之间的一个比例系数。要想测定细胞中的 $[\text{Na}^+]$ ，就必须先测定 NMRV。

Ogino 等提出了一种测定 NMRV 的实验方法，其基本思想是：改变细胞内外 Na^+ 信号峰的积分强度，比较改变值的相对大小，求出 NMRV。下面以酵母细胞为研究对象，介绍 Ogino 等测定 NMRV 的具体方法^[8]。

将在 30°C 经 24 小时培养的厌氧酵母细胞，降到 4°C 低速离心，洗涤离心收集细胞两

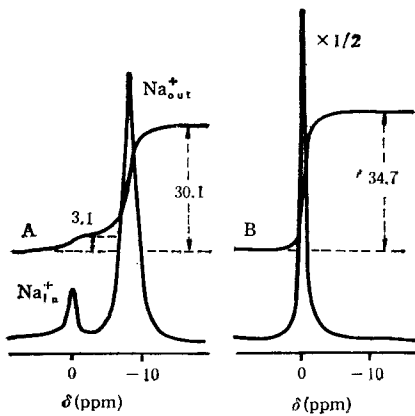


图1 厌氧酵母细胞悬液²³Na-NMR谱(95.26 MHz, 25°C)

A和B分别代表细胞外Na⁺渗透前后的图谱。数字代表信号峰积分强度^[10]。

次，与缓冲液配成悬液(1:2)。调节pH值到6.0。以360 MHz 谱仪第一次记谱。滴加5% 1:4的甲苯/乙醇，充分混合5分钟。再第二次记谱(图1)。实验过程中向悬液通以95% N₂/5% CO₂的混合气体。缓冲液：每1ml含5.0×10⁻⁵ mol 2-(N-吗啉)乙磺酸、1.0×10⁻⁶ mol Dy(PPP)₂³⁻ 和2.5×10⁻⁵ mol Tris 的溶液中加 H₂SO₄ 0.85g, K₂HPO₄ 0.15g, MgSO₄ 0.5g 和 NaCl 0.1 g。

设A_{in}和A_{out}分别代表Na_{in}⁺和Na_{out}⁺信号峰的积分强度，A代表重合后的Na⁺信号峰积分强度。则

$$\text{NMRV} = A_{\text{in}} / (A - A_{\text{out}}) = 3.1 / [34.7 - (30.1 - 3.1)] = 40\%$$

可见，对于新鲜厌氧酵母细胞，细胞中Na⁺的NMRV是40%。

测定细胞中的[Na⁺]，就是要测定细胞内的Na⁺含量和细胞内水的体积。按实验方法的不同，可分为Gupta方法和Pike方法。

1. Gupta方法^[11]

实验方法：两支NMR样品管M和N。M管盛细胞和缓冲液组成的悬液，N管只盛等量全同缓冲液。缓冲液中含Na⁺-SR，[Na_{out}⁺]已知。分别测量M管和N管，记录Na⁺信号峰积分强度。

计算公式：设A₀代表N管中Na⁺信号积

分强度。则

$$[\text{Na}_{\text{in}}^+] = \frac{1}{\text{NMRV}} \times \left(\frac{A_{\text{in}}}{A_{\text{out}}} \times \frac{S_{\text{out}}}{1 - S_{\text{out}}} \right) \times [\text{Na}_{\text{out}}^+]$$

其中， $S_{\text{out}} \equiv A_{\text{out}}/A_0$ ，称为空间系数(fractional space)。

2. Pike方法^[10]

实验方法：NMR样品管中盛由细胞和缓冲液组成的悬液。缓冲液中含Na⁺-SR。用毛细管离心方法读出悬液中的细胞压积。谱仪记录Na⁺信号积分强度。随后，不改变谱仪测量参数，依次对盛有各种标准浓度的Na⁺溶液进行测量。作出Na⁺信号积分强度与[Na⁺]的标准曲线。

计算公式：

$$[\text{Na}_{\text{in}}^+] = \frac{1}{\text{NMRV}} \times \frac{1}{H} \times [\text{Na}_{\text{标准}}^+]$$

$$[\text{Na}_{\text{out}}^+] = \frac{1}{H} \times [\text{Na}_{\text{标准}}^+]$$

其中，H是细胞压积，[Na_{标准}⁺]是标准曲线上对应于Na_{in}⁺或Na_{out}⁺信号积分强度的[Na⁺]。

应用²³Na-SR-NMR技术测定细胞中的[Na⁺]，其实验方法目前还不能说已十分完善，仍是一个十分诱人的研究课题。Cowan等^[11]发现：在Na⁺-SR存在时，细胞悬液中水的¹H化学位移与细胞压积呈线性关系。因此，

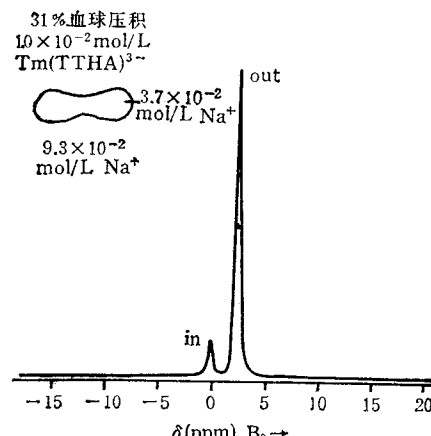


图2 血库存血²³Na-NMR谱(95.2 MHz, 15°C)

全血中含1.02×10⁻² mol/L (Choline)₃Tm (TTHA)·3CholineCl 和20%(Vol./Vol.)D₂O。FID 累加(7.16 min)，灵敏度增强(3Hz)^[10]。

他们在利用²³Na-SR-NMR技术测定细胞内外Na⁺信号积分强度的同时,又利用¹H-NMR技术测定悬液中¹H的化学位移值,推算出细胞内外水的体积比值,最终算出细胞中的[Na⁺]。在最近召开的第23届NMR安培会议上,Rotman等^[12]又提出,利用²³Na-SR-NMR和¹H-NMR技术可直接测定细胞内Na⁺和¹H的信号积分强度,从而算出细胞中的[Na⁺]。

四、活细胞中Na⁺代谢的研究进展

应用²³Na-SR-NMR技术研究细胞中的Na⁺代谢,是从大单层脂质体(LUV)开始的^[13]。随后,人体血红细胞(RBC)^[7]、蛙缝匠肌细胞^[7]、酵母细胞^[8,14]和鼠腹肌细胞^[15]也成了研究对象。目前,活细胞中的²³Na-SR-NMR研究集中于人体RBC上^[9-11,16]。

1. 细胞中的Na⁺特征参数测定

测定细胞中的Na⁺特征参数,主要是在人

体RBC上进行的。人体RBC是一个理想的生物细胞模型,特别适合于研究细胞中的生理代谢过程。这是因为:第一,人体RBC结构简单;而且不同生长发育阶段有明显的结构特征,易于研究细胞的整个生长发育过程。第二,它能大量获取,分离提纯也很方便;而且,还易于保存和运输。最后,人体RBC是一个灵敏的病理生理探针,具有重要的临床实用价值。

应用²³Na-SR-NMR技术测定人体RBC中的[Na⁺],在进行常规静脉抽血后,只需要30分钟就可完成。对于高场小孔径谱仪,样品量只需0.5 ml(图2)。

在正常情况下,人体RBC中Na⁺的NMRV是100%。新鲜血液中RBC的[Na_{in}⁺]低于 1.2×10^{-2} mol/L,血库存血中RBC的[Na_{in}⁺]范围在 2.9×10^{-2} — 4.0×10^{-2} mol/L(表1,表2)。

表1 正常人体RBC悬液在15°C下的定量参数^[10]

样品	处理方式	RBC压积%	SR	[SR] 10 ⁻³ mol/L	δ差值 ppm	[Na _{in} ⁺] 10 ⁻³ mol/L	[Na _{out} ⁺] 10 ⁻³ mol/L
血库存血	全血	31	X ₃ Tm(TTHA)·3XCl	10.2	2.42	38.3	91.1
新鲜血液	缓冲液洗涤	26	X ₃ Tm(TTHA)·3XCl	6.9	2.42	10.6	0.48
血库存血	缓冲液洗涤	26	X ₃ Tm(TTHA)·3XCl	6.9	2.51	30.0	1.64
新鲜血液	缓冲液洗涤	24	Na ₇ Dy(PPP) ₂ ·NaCl	0.58	3.69	36.6	50.9

注: X——胆碱。

表2 正常人新鲜血液成分在23°C下的定量参数^[16]

样 品	δ ⁺ ppm	v _{1/2} H _z	T _t 10 ⁻³ s	T ₂ 10 ⁻³ s
0.1 mol/L NaCl	0.000	17.0	60	60
血 浆	0.049	31.7	30±1	17±1
5%白蛋白	0.29	20.7	50±0.5	43±2
RBC 中 Na ⁺	-0.092*	32.9	30±3	14±3
Na ⁺ Chelex	-0.69*	325	<10	<1

注: +溶液中含 5.0×10^{-3} mol/L Dy(PPP)₂⁻;

*负号表示信号峰向高场方向移动。

2. 细胞中的Na⁺跨膜传输研究

无机阳离子(Na⁺、K⁺、Mg²⁺、Ca²⁺和NH₄⁺)的跨膜传输,是一个非常重要的生理过程。NMR技术,是目前人们研究这一过程的主要物理手段。已采用的研究方法有两种:一种是选择适当的顺磁性金属阳离子(通常是镧

系离子Ln³⁺),来代替某种无机阳离子。Ln³⁺的跨膜传输,会引起细胞膜上磷脂分子头部基团的化学环境发生变化。这种变化能够应用¹H、³¹P和¹³C的NMR技术来检测,它反映在头部基团信号的化学位移和线型参数上。这是一种类比的研究方法^[17]。另一种是通过观测

H^+ 的跨膜传输过程, 来研究有关无机阳离子的跨膜传输机制, 因为这两种过程往往是紧密地联系在一起的。应用 ^{31}P -NMR 技术, 可检测细胞中 pH 值变化, 也就是细胞中 H^+ 的变化。这是一种间接的研究方法^[18]。

以上两种方法存在着一定的局限性。第一种方法只能用于研究小体积的脂质体(直径小于 80 nm), 而且温度要控制在类脂相变温度以上。对于体积较大的细胞器和细胞, 由于运动程度降低, 膜上磷脂分子的信号峰增宽, 无法识别特征信号。另外, 由于膜蛋白通常有很高的专一性, 所以也不能用于研究选择性离子传输。第二种方法不够准确, 而且只能研究细胞

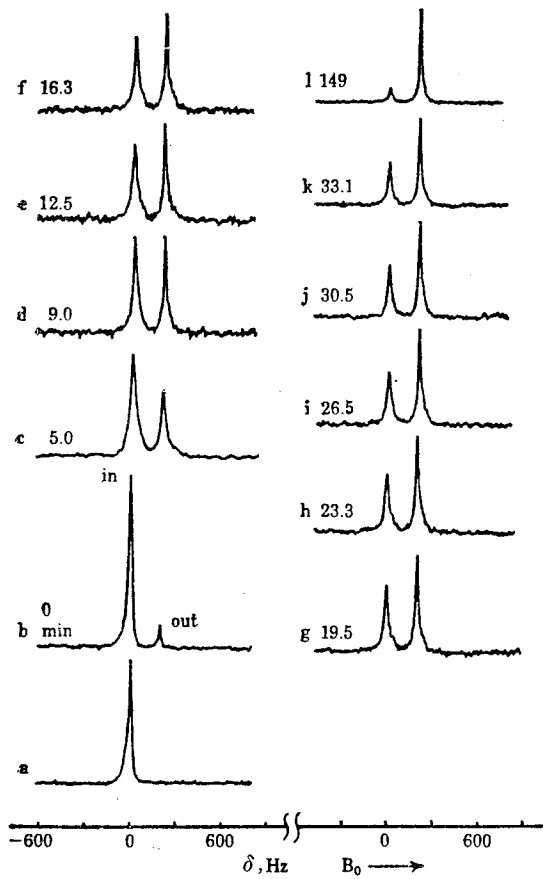


图 3 LUV 的 D_2O 悬液 ^{23}Na -NMR 谱
(132.3MHz, 24°C)

(a) 悬液中含 6.0×10^{-3} mol/L 卵磷脂, 6.0×10^{-2} mol/L $NaCl_{in}$, 2.7×10^{-4} mol/L $NaCl_{out}$, 和 3.5×10^{-2} mol/L $LiCl_{out}$; (b) 悬液另含 6.3×10^{-3} mol/L $Dy(NTA)^{3-}_{out}$; (c-L) 悬液中另含 1.6×10^{-7} mol/L 短杆菌肽, 是时间变化图谱, 从 FID 累加过程的中点记时^[13]。

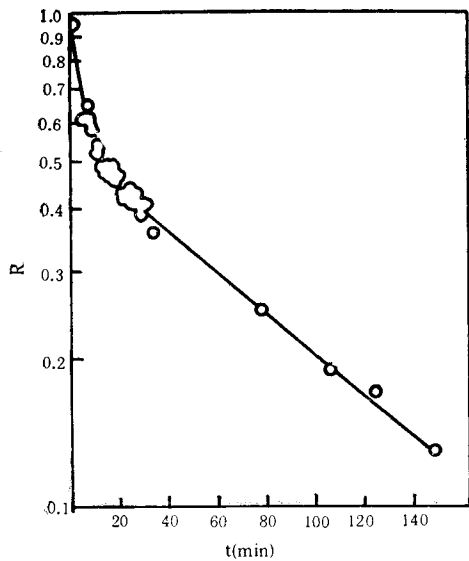


图 4 R 与 t 关系图

(○) 代表实验数据点, (-) 代表计算机模拟曲线^[13]。

中 Na^+ 和 K^+ 的跨膜传输。但是, 应用 ^{23}Na -SR-NMR 技术研究细胞中的 Na^+ 跨膜传输, 就能克服这两种方法的局限性。它既能直接研究细胞模型——LUV, 又能直接研究生物活细胞。通常, 将这两个层次上的工作相结合, 能得到令人满意的结果。

Pike 等^[13]首次应用 ^{23}Na -SR-NMR 技术, 研究了在卵磷脂 LUV 膜一侧的 Na^+ 被动传输。在 $[Na_{in}^+] > [Na_{out}^+]$ 的条件下, 向 LUV 悬液滴加微量的短杆菌肽, LUV 内的 Na^+ 就会顺 Na^+ 浓度梯度向 LUV 外扩散(图 3)。实验结果表明: Na^+ 的扩散速度开始很快, 一级速度常数达到 $K_{快} = 3.0 \pm 0.3 \times 10^{-3} s^{-1}$; 随后又很慢, 一级速度常数只有 $K_{慢} = 1.6 \pm 0.2 \times 10^{-4} s^{-1}$ 。实验曲线可拟合为:

$$R = 0.41 \exp(-0.18t)$$

$$+ 0.53 \exp(-0.0096t) + 0.05$$

其中, $R \equiv A_{in}/(A_{in} + A_{out})$, t 的单位是分钟(图 4)。

Pike 等推测, Na^+ 从初平衡态到末平衡态的传输, 至少经历了三个阶段。第一阶段是 Li^+ 和 Na^+ 1:1 的进出快交换, 直到 $[Li_{in}^+] = [Li_{out}^+]$, 但仍有 $[Na_{in}^+] > [Na_{out}^+]$; 第二阶段是 Li^+ 和 Na^+ 1:1 的进出慢交换, 直到 $[Li_{in}^+]/$

$[Li_{out}^+]/[Na_{in}^+] = [Na_{out}^+]/[Na_{in}^+]$, 但仍有 $[Na_{in}^+] > [Na_{out}^+]$; 第三阶段是 Cl^- 的出膜慢传输, 直到 $[Na_{in}^+] = [Na_{out}^+]$, $[Li_{in}^+] = [Li_{out}^+]$ 。

利用 LUV 模型研究细胞中 Na^+ 跨膜传输有两个方向: 一个是分别研究由各种类脂成分制备的 LUV 膜的通透性, 包括在生理条件下的和在特殊理化条件下的; 另一个是研究重建在 LUV 膜上的各种膜蛋白的特异性传输机制。

应用 ^{23}Na -SR-NMR 技术研究 Na^+ 的跨膜传输, 所采用的第一个生物活细胞样品是酵母细胞^[8,14]。酵母细胞通常是一种富含 K^+ 的细胞。但当细胞悬液中缺乏 K^+ 而富含 Na^+ 时, 它又能吸收 Na^+ , 成为一种富含 Na^+ 的细胞。如果洗涤掉悬液中的 Na^+ , 则酵母细胞又能将积累的 Na^+ 释放出来。酵母细胞的这种 Na^+ 、 K^+ 传输机制, 已有大量研究, 但其相互关系还不很清楚。

Balschi 等^[14]测定了富含 Na^+ 酵母细胞

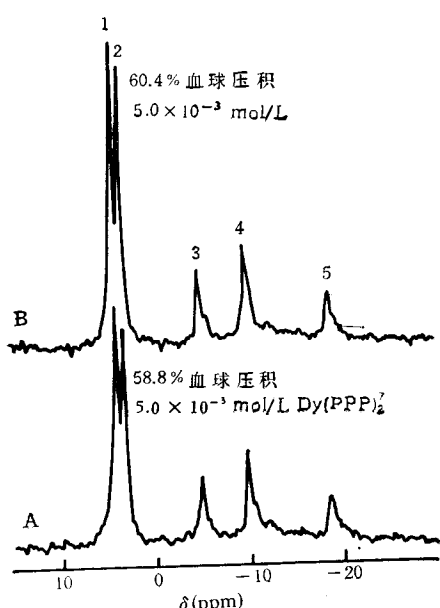


图 5 人体 RBC 悬液 ^{31}P -NMR 谱 (145.78 MHz, 37°C)

悬液中含 $6.5 \times 10^{-2} \text{ mol/L NaCl}$ 、 $2.0 \times 10^{-2} \text{ mol/L KCl}$ 、 $1.0 \times 10^{-2} \text{ mol/L Na}_2\text{PO}_4$ 、 $2.0 \times 10^{-3} \text{ mol/L MgCl}_2$ 、 $1.0 \times 10^{-3} \text{ mol/L 葡萄糖}$ 和 $5.0 \times 10^{-2} \text{ mol/L Hepes}$, pH = 7.4。FID 累加 (5 min), 灵敏度增强 (20 Hz)。谱线归属: 1 和 2 峰代表 ADP 中 3-P 和 2-P; 3、4 和 5 峰代表 ATP 中 α -P 和 β -P^[14]。

的一级速度常数:

$$K_{快} = 9.0 \pm 2.0 \times 10^{-4} \text{ s}^{-1}$$

$$K_{慢} = 1.8 \pm 1.1 \times 10^{-5} \text{ s}^{-1}$$

实验曲线可拟合为:

$$R = 0.34 \exp(-0.054t) + 0.46 \exp(-0.0011t)$$

这些结果与在 LUV 上测得的结果一致。

Ogino 等^[8]利用 ^{39}K 、 ^{23}Na -SR-NMR 和 ^{31}P -NMR 技术, 研究了酵母细胞中 K^+ 、 Na^+ 和 H^+ 的相互关系。结果发现: 酵母细胞中的 K^+ 和 H^+ , 是以 1:1 的比例跨膜交换传输的; 酵母细胞膜上只存在 K^+ 载体, Na^+ 能与 K^+ 竞争 K^+ 载体。

继酵母细胞的研究之后, Ogino 等^[9]又利用 ^{39}K 、 ^{23}Na -SR-NMR、 ^{31}P -NMR 和选择性 K^+ 微电极技术, 研究了新鲜人体 RBC 中的 Na^+ 代谢。

在人体 RBC 中, Na^+ - K^+ 泵是维持细胞膜两侧 Na^+ 、 K^+ 浓度梯度的主要因素。为了确定 Na^+ -SR 加入后, 人体 RBC 中的能量代谢是否受到了阻碍, 从而影响 Na^+ - K^+ 泵的正常功能, Ogino 等先做了 ^{31}P -NMR 图谱。结果表明: 在 Na^+ -SR 加入前后, ATP 和 ADP 中有机磷的信号峰没有发生变化, RBC 中能量代谢正常 (图 5)。

在通常情况下, ^{39}K -SR-NMR 技术的灵敏度要比选择性 K^+ 微电极技术的灵敏度低。因此, Ogino 等在分别利用 ^{39}K 、 ^{23}Na -SR-NMR 技术测定了 RBC 中的 $[K^+]$ 和 $[Na^+]$ 后, 又将 ^{23}Na -SR-NMR 技术与选择性 K^+ 微电极技术相结合, 研究了 RBC 中的 Na^+ 、 K^+ 跨膜传输。结果发现: 在初始平衡状态下, $[Na_{in}^+] = (8.1 \pm 0.8) \times 10^{-3} \text{ mol/L}$, $[K^+] = (1.1 \pm 0.12) \times 10^{-1} \text{ mol/L}$; 对苦毒无旋花子甙敏感的 Na^+ 净输出通量是 $(1.75 \pm 0.08) \times 10^{-3} \text{ mol} \cdot \text{l}^{-1} \cdot \text{h}^{-1}$ 。在加入短杆菌肽后, Na^+ 和 K^+ 先发生 1:1 的快交换; 随后是 Na^+ 和 K^+ 的慢交换, 其速度取决于 Cl^- 的跨过膜通透性。

活细胞中的 ^{23}Na -SR-NMR 研究, 目前还处在初始阶段。但 ^{23}Na -SR-NMR 技术, 已开

(下转第 37 页)

加热只有当温度超过 45℃ 时才能产生细胞链断裂^[3]。而且 Corry 等发现照射前加热比照射后加热细胞 DNA 链断裂的百分率高 10—20%^[2]。这与我们的实验结果相近。这也许是由于高温造成 DNA 链直接或潜在的断裂，再加上电离辐射，两者的协同作用就增强了 DNA 损伤。至于照射后加热，有的研究表明主要表现为高温对 DNA 重接修复功能的抑制^[7]。这提示在放射治疗中，在照射肿瘤前进行高温处理能够提高疗效。

关于高温对细胞 DNA 链断裂重接修复的抑制，过去报道也不一致。有人认为高温促进了细胞内 DNA 单链断裂的修复^[6]但是本实验结果与 Corry 和 Jorritsman 等结果相似^[4,5]，这表明 43℃ 高温极大地抑制了淋巴细胞 DNA 链断裂的重接修复。由于重接修复是一个酶促反应的生化过程，因此 DNA 修复与促使与 DNA 修复有关的酶的失活有密切关系。已有报道，高温对 DNA 聚合酶 β 的活力下降影响十分

明显^[9]，这使单链 DNA 重接修复速度减慢乃至停止。

综上所述，高温合并辐射对细胞有杀伤作用，引起细胞死亡的原因是多方面的，本文的实验所观察的仅是单次加热处理对 DNA 损伤及其修复的影响。

参 考 文 献

- [1] Lunec, J. et al.: *Radiat. Res.*, 85, 116, 1981.
- [2] Corry, P. M. et al.: *Radiology*, 123, 475, 1977.
- [3] Rydberg, B.: *Radiat. Res.*, 61, 274, 1975.
- [4] Boyum, A.: *Scand. J. Clin. Invest., Suppl.* 97, 21, 1968.
- [5] Sakai, K. et al.: *J. Radiat. Res.*, 22, 415, 1981.
- [6] Robinson, J. E.: *Radiology*, 113, 195, 1974.
- [7] Jorritsman, J. B. M. et al.: *Radiat. Res.*, 98, 198, 1984.
- [8] Dikomery, E.: *Int. J. Radiat. Biol.*, 41, 603, 1982.
- [9] Spiro, I. J.: *Radiat. Res.*, 89, 134, 1982.

[本文于 1987 年 1 月 16 日收到]

(上接第 7 页)

始向研究生物体内其它无机阳离子扩展，如 K^+ 、 Mg^{2+} 和 Ca^{2+} 等^[19,20]。这些新技术的出现，可望使目前对活细胞中无机阳离子代谢研究的水平，产生一个飞跃。

参 考 文 献

- [1] Duhm, J. et al.: *Hypertension*, 4, 477, 1982.
- [2] Dorns, E. et al.: *Science*, 205, 932, 1979.
- [3] Rubython, E. J. et al.: *Clin. Sci.*, 64, 441, 1983.
- [4] Cameron, L. L. et al.: *Cancer Res.*, 40, 1493, 1980.
- [5] Kissel, T. R. et al.: *Clin. Chem.*, 28, 449, 1982.
- [6] Pike, M. M. & Springer, Jr. C. S.: *J. Magn. Reson.*, 46, 348, 1982.
- [7] Gupta, R. K. & Gupta, P.: *J. Magn. Reson.*, 47, 344, 1982.
- [8] Ogino, T. et al.: *Proc. Natl. Acad. Sci. USA*, 80, 5185, 1983.
- [9] Ogino, T. et al.: *ibid.*, 82, 1099, 1985.
- [10] Pike, M. M. et al.: *Am. J. Physiol.*, 246, C528, 1984.
- [11] Cowan, B. E. et al.: *FEBS Lett.*, 184, 131, 1985.
- [12] Rotman, A. et al.: *23th NMR Ampere Conference Symposium*, 532, 1986.
- [13] Pike, M. M. et al.: *Proc. Natl. Acad. Sci. USA*, 79, 810, 1982.
- [14] Balchi, J. A. et al.: *Biophys. J.*, 38, 323, 1982.
- [15] Matwyoff, N. A. et al.: *Magn. Reson. Med.*, 3, 164, 1986.
- [16] Pettegrew, J. W. et al.: *J. Magn. Reson.*, 57, 185, 1984.
- [17] Ting, D. Z. et al.: *Biophys. J.*, 34, 189, 1981.
- [18] Nicolay, K. et al.: *Arch. Microbiol.*, 133, 83, 1982.
- [19] Pike, M. M. et al.: *Inorg. Chem.*, 22, 2388, 1983.
- [20] Chu, S. C. et al.: *J. Magn. Reson.*, 56, 33, 1984.

[本文于 1986 年 12 月 9 日收到]